


**مقاله پژوهشی**

## باتولیت گرانیتوئیدی صاحب، شمال کردستان؛ شواهدی از ماقمایسم کرتاسه-پالئوسن در پهنه سندج-سیرجان

فرید عبدالله<sup>۱</sup>، قاسم نباتیان<sup>۱\*</sup>، جیان‌وی لی<sup>۲</sup>، مریم هنرمند<sup>۳</sup> و محمد ابراهیمی<sup>۱</sup>

(۱) گروه زمین‌شناسی، دانشکده علوم، دانشگاه زنجان، زنجان، ایران

(۲) گروه علوم زمین، دانشگاه ووهان، ووهان، چین

(۳) دانشکده علوم زمین، دانشگاه تحصیلات تکمیلی علوم پایه زنجان، زنجان، کد پستی ۴۵۱۳۷-۶۶۷۳۱، ایران

دیرافت مقاله: ۱۳۹۸/۰۲/۲۸، پذیرش: ۱۳۹۸/۰۹/۰۳

### چکیده

باتولیت گرانیتوئیدی صاحب در شمال استان کردستان و از دیدگاه تقسیم‌بندی ساختاری ایران، در پهنه دگرگونی-ماگمایی سنتندج-سیرجان قرار دارد. این باتولیت متشکل از چندین فاز نفوذی با ترکیب کوارتزمونزودیبوریت، کوارتزمونزونیت و مونزو-گرانیت است. یک دسته دایک‌های دیبازی نیز باتولیت صاحب را قطع کرده‌اند. بر اساس بررسی‌های پتروگرافی باتولیت گرانیتوئیدی صاحب از کانی‌های اصلی ارتوکلاز، پلازیوکلاز، کوارتز، آمفیبول و بیوتیت، با نسبت‌های مختلف تشکیل شده است. بافت‌های ساخته در این باتولیت گرانولار، پوئی کیلیتیک و میرمکیتی هستند. ویژگی‌های کانی‌شناسی باتولیت گرانیتوئیدی صاحب قبل مقایسه با گرانیتوئیدهای I-type است. بر اساس نتایج سن‌سنجه U-Pb زیرکن از بخش‌های مختلف باتولیت گرانیتوئیدی صاحب، سن‌های  $62/03 \pm 0/56$  تا  $58/9 \pm 0/9$  میلیون سال برای نمونه‌های کوارتزمونزونیت، سن  $1/3 \pm 67/9$  میلیون سال برای نمونه کوارتزمونزودیبوریت و سن  $0/56 \pm 10/6$  میلیون سال برای نمونه مونزو-گرانیت به دست آمد. به طور کلی سن‌های به دست آمده از این باتولیت گرانیتوئیدی یانگر آن است که تشکیل باتولیت صاحب در زمان پالئوسن و مربوط به اشکوب‌های دانین، سالاندین و تانشین است که به داخل واحدهای قدیمی‌تر در منطقه تزریق شده است. علاوه بر این، سن‌های به دست آمده از این باتولیت نشان‌دهنده آن است که باتولیت صاحب در طی یک فاز ماگمایی تشکیل نشده است و چندین فاز ماگمایی در زمان‌های مختلف به داخل پوسته تزریق شده‌اند و این باتولیت بزرگ را در زمان کرتاسه-پالئوسن تشکیل داده‌اند. ظهور توده‌های گرانیتوئیدی با سن کرتاسه-پالئوسن مربوط به آخرین مراحل ماقمایسم مرتبط با فروزانش در پهنه سندج-سیرجان هستند.

**واژه‌های کلیدی:** سن‌سنجه U-Pb، پالئوسن، سنتندج-سیرجان، صاحب، گرانیتوئید، سقر، کردستان

نقشه‌های زمین‌شناسی ورقه‌های 1:100000 (Kholghi چاپان)

(Hariri, 1999) و 1:100000 (khosraghi, 2004) سقر

**مقدمه**

منطقه مورد بررسی در خاور شهرستان سقر واقع شده است و در

ملایر (Ahadnejad et al., 2011) و کمپلکس گرانیتوئیدی همدان (Baharifar et al., 2004) اشاره کرد. گرانیتوئیدهای سنتدج-سیرجان دارای ماهیت کالکآلکالن هستند که این مسئله با الگوی فروزانش پوسته اقیانوسی نووتیس و ایجاد کمان ماگمایی در حاشیه پوسته ایران مرکزی مطابقت دارد (Berberian and King, 1981). این گرانیتوئیدها که در پهنه سنتدج-سیرجان قرار دارند، اغلب دارای سن تریاس بالایی تا ژوراسیک (Arvin et al., 2007; Zaravandi et al., 2009) (Mazhari et al., 2009) تا ائوسن زیرین (Malekzadeh Shafarodi and Malekzadeh گذشته‌اند (Karimpour, 2011). بهترین روش سن‌سنجی برای تعیین سن توده‌های گرانیتوئیدی استفاده از کانی زیرکن است، چون کانی زیرکن در گستره وسیعی از سنگ‌های آذرین وجود داشته و فرایندهای دگرسانی و دگرگونی (به استثنای درجات بالا) کمتر بر روی آن تأثیر می‌گذارد. پژوهش‌هایی که در گذشته بر روی باтолیت صاحب انجام شده است، اغلب بررسی‌های ژئوشیمیایی و کانی‌شناسی این توده بوده است (Vossoughi Abedini, 2008; Dana., 2009; Elyasi and Ahangari, 2015; Zandi et al., 2018 Kholghi and Vossoughi خلقی و شوکی عابدینی (Abedini, 2008) سن 69/5 میلیون سال را بر اساس سن‌سنجی به روش K-Ar بر روی دو نمونه از باтолیت یادشده پیشنهاد داده‌اند. پژوهش حاضر به بررسی زمین‌شناسی، کانی‌شناسی و سن دقیق بخش‌های مختلف باтолیت گرانیتوئیدی صاحب، با استفاده از روش U-Pb بر روی کانی زیرکن پرداخته است.

### زمین‌شناسی

این باтолیت گرانیتوئیدی بخشی از پهنه دگرگونی سنتدج-سیرجان است. بر اساس نقشه زمین‌شناسی، در منطقه مورد

قرار دارد. بخش عمده آن در نقشه چاپان و فقط بخش کوچکی از آن در نقشه سقز قرار می‌گیرد. باтолیت صاحب حدود 200 کیلومتر مربع را در برمی‌گیرد. آسان‌ترین راه دسترسی به این باтолیت، از طریق جاده آسفالت شهر صاحب به سمت روستاهای یاپش‌خان و چاغرلو است. این منطقه از دیدگاه پهنه‌های زمین‌شناسی-ساختاری ایران متعلق به بخش شمالی پهنه Aghanabati, 2005). این پهنه در نتیجه بازشدن و فروزانش اقیانوس نووتیس تشکیل شده است (Alavi, 1994). علوی (Alavi, 2004)، این پهنه را بخشی از کمربند کوه‌زایی زاگرس که خود قسمتی از کمربند کوه‌زایی آلب-هیمالیا است، دانسته و آن را ورقه رانده شده‌ای می‌داند که طی بسته‌شدن نووتیس در جبهه جنوب‌باخته کمان آتش‌شانی ارومیه-دختر شکل گرفته است. بر اساس گانسر (Gansser, 1981)، ایران بخشی از کمربند کوه‌زایی آلب-هیمالیا است که متشکل از خردقاره‌هایی است که به‌وسیله گسل‌های بزرگ اصلی و یا زمین‌درزها از هم جدا می‌شوند. این پهنه اغلب از سنگ‌های دگرگونی و توده‌های نفوذی تشکیل شده است و از باخته دریاچه ارومیه تا شمال بندرب Abbas با طول حدود 1500 کیلومتر و پهنه‌ای 150 تا 250 کیلومتر با راستای شمال‌باخته-جنوب خاوری ادامه می‌یابد (Masoodi et al., 2012). پهنه سنتدج-سیرجان به دو بخش شمالی و جنوبی تقسیم‌بندی می‌شود که نحوه تکوین آنها متفاوت از هم است. پهنه جنوبی آن شامل سنگ‌های دگرگون شده و تغییر شکل یافته‌ای است که در زمان‌های تریاس میانی تا بالایی شکل گرفته‌اند؛ اما سنگ‌های بخش شمالی آن در اواخر زمان کرتاسه تغییر شکل پیدا کرده‌اند. توده‌های نفوذی فراوانی در بخش شمالی پهنه سنتدج-سیرجان دارند که می‌توان به توده‌های نفوذی ارومیه (Ghalamghash et al., 2006)، اشنویه (Ghalamghash et al., 2003)، پیرانشهر (Arian et al., 2011)، سقز (Mazhari et al., 2009) (Azizi et al., 2011)، صوفی‌آباد (Mazhari et al., 2011)

باتولیت صاحب در نقشه زمین‌شناسی 1:250000 (Alavi and Amidi, 1976) قرار می‌گیرد و بخش کوچکی از آن در نقشه 1:250000 مهاباد (Eftekharnezhad, 1977) قرار دارد. نقشه 1:1000000 چاپان جزئی از نقشه 1:250000 نکاب و نقشه 1:1000000 سقز جزئی از نقشه 1:250000 مهاباد به شمار می‌رود. در چهارگوش تکاب، بخشی از آن به سن پرکامبرین و بخشی دیگر به سن ترکیش نسبت داده شده و محل تماس آنها در یک کیلومتری جنوب آبادی اینچه، در چهار کیلومتری جنوب خاور آبادی گوزل بلاغ و در خاور آبادی نماین، ناگهانی گزارش شده است (Alavi and Amidi, 1976). در صورتی که ادامه همین توده نفوذی با سن‌های یادشده را در چهارگوش مهاباد به بعد از کرتاسه (احتمالاً پاثوسن) منسوب کرده‌اند (Eftekharnezhad, 1977) این باتولیت متشکل از چندین توده نفوذی با ترکیب کوارتز‌مونزونیت، کوارتز‌مونزون‌دیوریت و مونزون‌گرایی است. توده‌های نفوذی یادشده به داخل واحدهای آهکی پرمین و آهکی و شیلی کرتاسه نفوذ‌کرده و باعث ایجاد دگرگونی مجاورتی و پدیده اسکارن‌زایی در سنگ‌های مجاور شده‌اند. در مقیاس نمونه دستی این توده دارای رنگ روشن متمایل به صورتی است که در بعضی قسمت‌ها به دلیل هوازدگی رنگ آن به خاکستری متمایل شده است (شکل 2-A).

درشت‌بلورهایی از کانی‌های ارتوکلاز، کوارتز و کانی‌های مافیک از جمله بیوتیت و آمفیبول را می‌توان در مقیاس نمونه دستی مشاهده کرد (شکل 2-B). ارتوکلاز موجود در این توده اغلب درشت‌بلور بوده و رنگ صورتی آنها را از سایر کانی‌ها متمایز کرده است (شکل 2-C). توده گرانیتوئیدی در بعضی نقاط توسط دایک‌هایی با ضخامت‌های متفاوت و به طول گاهای تا یک کیلومتر قطع شده‌اند (شکل 2-D).

### نمونه‌برداری و روش‌های آزمایشگاهی

برای بررسی دقیق باتولیت صاحب، پس از بررسی‌های میدانی، از نمونه‌های با کمترین مقدار دگرسانی، 30 مقطع نازک تهیه شد. سپس 4 نمونه از واحدهای گرانیتوئیدی صاحب پس از

بررسی از واحدهای پرکامبرین تا کواترنری رخمنون دارند (شکل 1). قدیمی‌ترین واحد موجود در منطقه مربوط به سازند کهر با سن پرکامبرین است که شامل توالی اسلیت، شیل و توف بوده و در بخش شمال‌باخته منطقه گسترش دارد. واحدهای دیگر با سن پرکامبرین که در منطقه رخمنون دارند و از سازند کهر جوان‌تر هستند، مربوط به سازند بایندر و سلطانیه هستند. سازند بایندر از ماسه‌سنگ‌های درشت‌دانه و شیل‌های میکادر تشکیل شده است و واحدهای مربوط به سازند سلطانیه شامل تنابی از دولومیت، آهک‌های دولومیتی و شیل به رنگ‌های زرد چرکین تا قهوه‌ای خاکستری در سطح هوازده است. رسوبات پرمین در محدوده مورد بررسی شامل ماسه‌سنگ‌های کوارتری سفید تا خاکستری، ماسه‌سنگ‌های قهوه‌ای، شیل‌های ماسه‌ای، کربنات‌ها و کربنات‌های مرمری شده هستند که همارز با سازندهای درود و روته نیز هستند. واحدهای ژوراسیک در شمال‌باخته منطقه رخمنون داشته و شامل ماسه‌سنگ‌های خاکستری مایل به سبز، شیل‌های سبز زیتونی با میان‌لایه‌هایی از سنگ آهک‌های ماسه‌ای با آثار گیاهی هستند. رسوبات مربوط به واحد کرتاسه در جنوب منطقه مورد بررسی قرار دارد و از ماسه‌سنگ و ماسه‌سنگ‌های آهکی، شیل‌های سیلتی-آهکی، سنگ آهک و سنگ آهک‌های دولومیتی سبیرلایه تا توده‌ای خاکستری مایل به سبز و صورتی را شامل می‌شود. رسوبات سازند قم موجود در ناحیه مورد بررسی از شمال خاور تا جنوب‌باخته منطقه مورد مطالعه، گسترش پیدا کرده‌اند و حاوی ردیفی از سنگ آهک‌های مارنی سفید تا روشن، ردیفی از ماسه‌سنگ‌های مارنی، مارن و شیل هستند. واحدهای کواترنری که در بخش‌های وسیعی از منطقه مورد بررسی گسترش دارند، شامل کنگلومرا به رنگ خاکستری روشن همراه با سیلتستون و تراس‌های کهن، به صورت پادگانه‌های آبرفتی بلند و مخروط افکنه هستند که افقی بوده و رخداد زمین‌ساختی مؤثری را تحمل نکرده‌اند. باتولیت گرانیتوئیدی صاحب در گسترهای میان 30° تا 46° 30' طول جغرافیایی خاوری و 36° 16' تا 46° 52' عرض جغرافیایی شمالی قرار گرفته است. بخش عمده

درشت‌بلور و به رنگ خاکستری دیده می‌شوند و از لحاظ ضریب رنگی مزوکرات هستند. در مقیاس میکروسکوپی بافت اصلی این سنگ‌ها گرانولار ناهمسان دانه است. کانی‌های اصلی شامل پلاژیوکلاز (35 تا 40 درصد) کوارتز (15 تا 20 درصد)، ارتوکلاز (20 تا 25 درصد) و کانی‌های مافیک (شامل آمفیبول و بیوتیت با 10 تا 15 درصد حجمی) هستند (شکل A-3). بلورهای پلاژیوکلاز اغلب دارای ماکل تکراری هستند و در بعضی موارد دگرسانی سریسیتی نشان می‌دهند. کانی‌های فرعی این توده شامل اسفن، آپاتیت، زیرکن و کانی‌های کدر هستند. از بافت‌های فرعی قابل مشاهده در این سنگ‌ها می‌توان به بافت میرمکیتی اشاره کرد (شکل B-3).

**کوارتزمونزونیت:** سنگ‌های کوارتزمونزونیتی موجود در منطقه در نمونه دستی از لحاظ ضریب رنگینی مزوکرات پوده و بافت گرانولار ناهمسان دانه دارند. کانی‌های اصلی سنگ‌های کوارتزمونزونیتی شامل پلاژیوکلاز، ارتوکلاز، کوارتز، آمفیبول و بیوتیت هستند (شکل C-3). پلاژیوکلازها (25 تا 35 درصد) به صورت بلورهای شکل دار تا نیمه‌شکل دار با ماکل تکراری و گاهی با منطقه‌بندی نوسانی در اندازه‌های 0/5 تا 1 میلی‌متر قابل مشاهده‌اند. در بسیاری موارد دگرسانی سریسیتی در پلاژیوکلازها قابل مشاهده است. بلورهای شکل دار تا نیمه‌شکل دار ارتوکلاز (30 تا 40 درصد) در اندازه‌های متغیر از 1 تا 6 میلی‌متر با ماکل کارلسbad و در مواردی بافت پرتیتی قابل مشاهده هستند. بلورهای کوچک پلاژیوکلاز، آمفیبول، بیوتیت و کوارتز در برخی موارد در داخل بلورهای درشت ارتوکلاز دربر گرفته شده و بافت پوئی کیلیتیک را ایجاد کرده‌اند (شکل D-3). کانی‌های فرعی این توده شامل اسفن، آپاتیت، زیرکن و کانی‌های کدر هستند.

**مونزوگرانیت:** در نمونه دستی، این سنگ‌ها دارای بلورهای درشت ارتوکلاز به رنگ صورتی و از لحاظ درجه رنگینی مزوکرات هستند. نمونه‌های مونزوگرانیتی در مقیاس میکروسکوپی دارای بافت اصلی گرانولار ناهمسان دانه و بافت‌های فرعی پوئی کیلیتیک و میرمکیتی هستند. کانی‌های

بررسی‌های دقیق پتروگرافی برای سن سنجی به روش U-Pb انتخاب شد (کوارتزمونزونیت با شماره نمونه‌های Ch2 و Ch4، کوارتزمونزودیوریت با شماره نمونه Ch7 و مونزوگرانیت با شماره نمونه Ch15) و از هر نمونه در حدود 100 تا 110 دانه زیرکن به روش دستی و با استفاده از میکروسکوپ بیناکولار جدا شد و در تیوب‌های مخصوص به دانشگاه زمین‌شناسی چین شعبه Wuhan ارسال شد. زیرکن‌های گرانیتی‌بند صاحب با استفاده از روش ICP-MS Laser- Ablation مورد آنالیز U-Pb سن سنجی قرار گرفتند. زیرکن‌های استاندارد مورد استفاده در این آنالیزها شامل زیرکن‌های GJ-1 و 91500 هستند. پس از تهیه تصاویر کاتدولومینسانس و بررسی ساختار درونی زیرکن‌ها، بهترین نقاط برای آنالیز تعیین شدند. برای بررسی ویژگی‌های مورفولوژیکی، بافت‌های داخلی و جایگاه پاراژنیتیکی کانی زیرکن، بعد از صیقل‌دادن مونت‌های تهیه شده، از روش‌های SEM، BSE، الکترون ثانویه و کاتدولومینسانس (CL) از دستگاه Quanta 450 FEG SEM مجهر ز به آشکارساز Inca X-Max 50 and a MonoCl 4+ استفاده شد.

ایزوتوب‌های اورانیوم-سرب زیرکن به وسیله دستگاه Agilent GeoLas 2005a ICP-MS 7500a مجهز به سیستم laser-DUV 193 nm ArF-excimer laser با لیزر State Key (MicroLas, Germany) در آزمایشگاه دانشگاه علوم زمین چین واقع در شهر Wuhan Laboratory انجام شد. جزئیات دقیق روش‌های تجزیه‌ای و تبدیل داده در پژوهش لیو و همکاران (Liu et al. 2010a, 2010b) ارائه شده است.

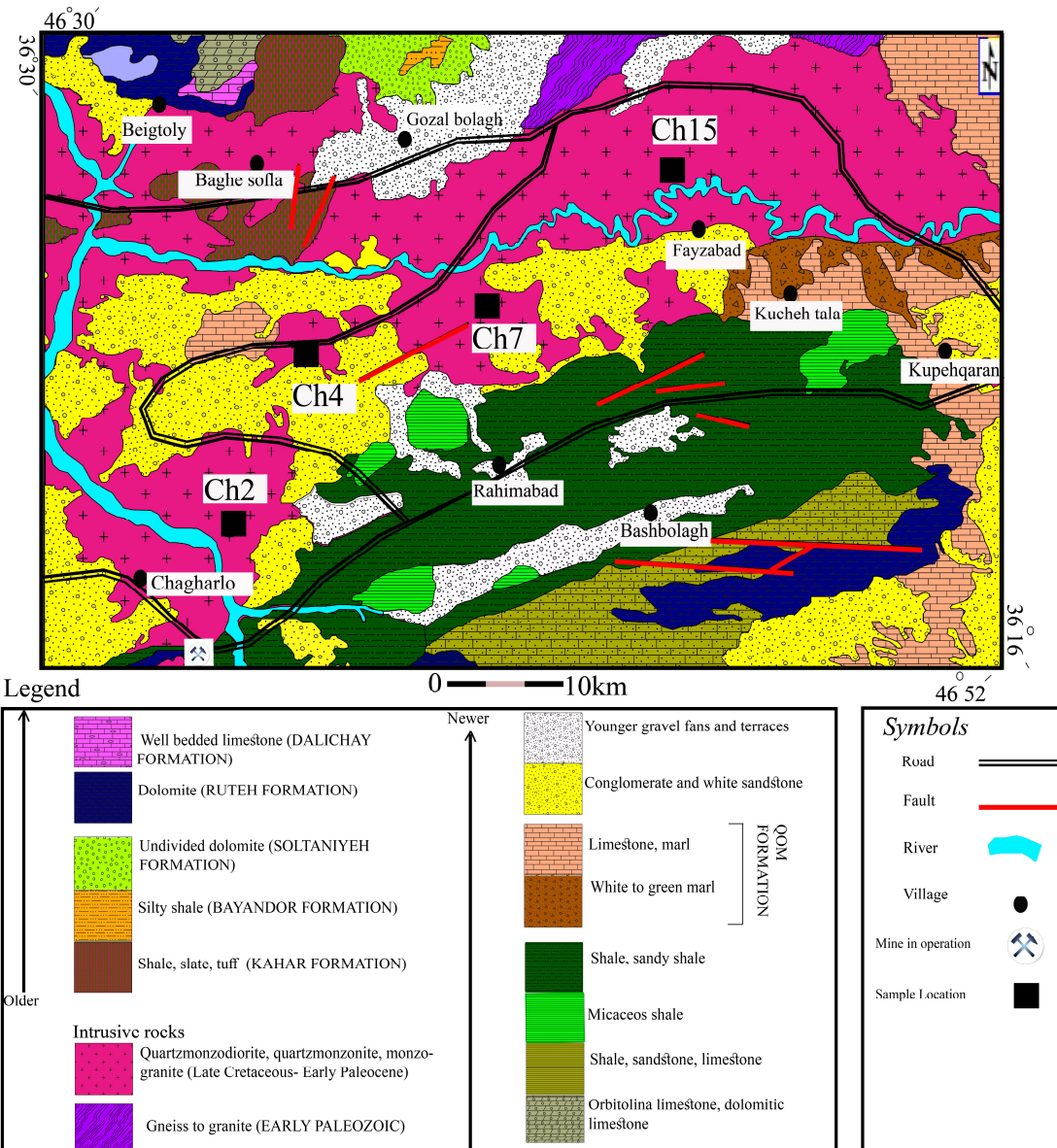
## سنگ‌نگاری

بر اساس بررسی‌های میکروسکوپی انجام شده، با تولید گرانیتی‌بندی صاحب از سه توده کوارتزمونزودیوریت، کوارتزمونزونیت و مونزوگرانیت تشکیل شده است.

**کوارتزمونزودیوریت:** در نمونه دستی، این سنگ‌ها

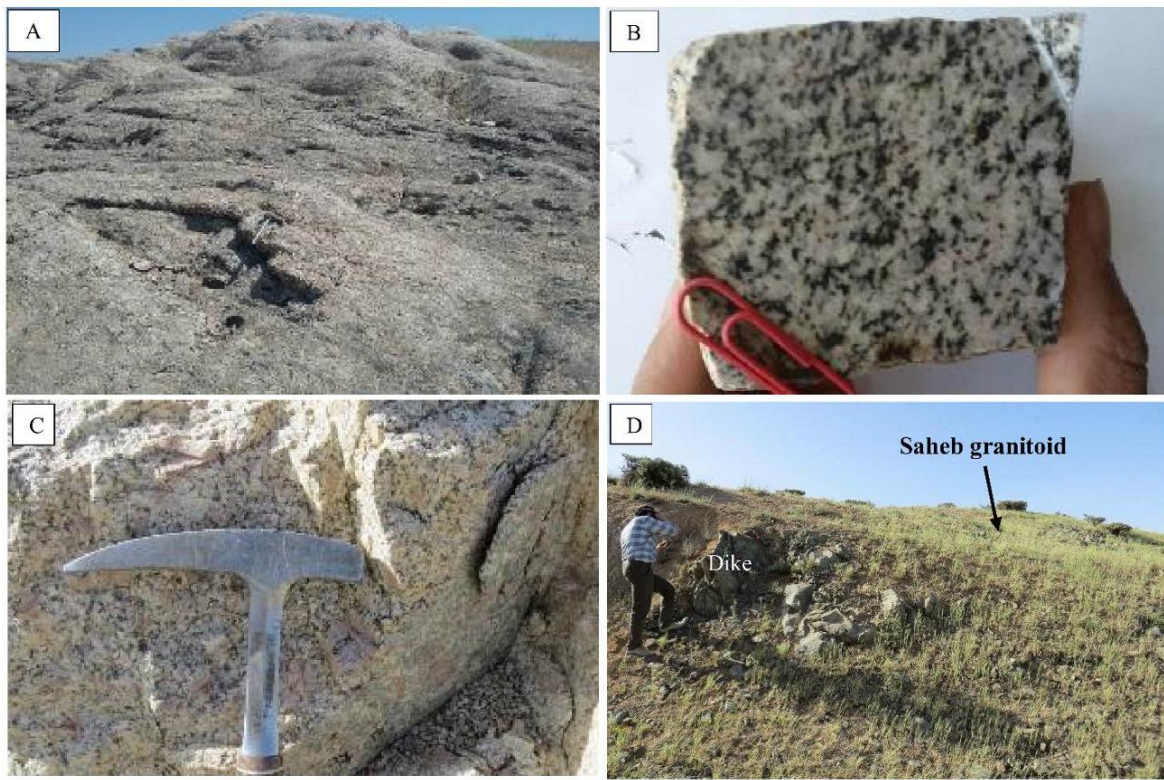
به صورت بلورهای شکل دار تا نیمه شکل دار 20 درصد حجمی این سنگ‌ها را تشکیل می‌دهد و در بسیاری موارد بافت پر تیتی نشان می‌دهد. در برخی موارد، بلورهای درشت ارتوکلاز بلورهای کوچک پلازیوکلاز، آمفیبول و بیوتیت را در بر گرفته و بافت پوئی کیلیتیک دارند (شکل E-3).

اصلی این واحد سنگی شامل پلازیوکلاز (30 تا 40 درصد)، کوارتز، ارتوکلاز، بیوتیت و آمفیبول هستند (شکل E-3). بلورهای شکل دار تا نیمه شکل دار پلازیوکلاز با ماکل تکراری و در برخی موارد با منطقه‌بندی قابل مشاهده هستند. اندازه پلازیوکلازها از ۰/۲ تا ۲ میلی‌متر متغیر است. ارتوکلاز



شکل 1. نقشه زمین‌شناسی ساده شده از منطقه مورد بررسی (صاحب، کردستان)، (اقتباس از خلقی خسرقی (Kholghi Khosraghi, 1999 با اندکی تغییرات)

**Fig. 1.** Simplified geological map of the study area (Saheb, Kurdistan). (from Kholghi Khosrghi, 1999 with some modification)



شکل 2. تصاویر صحرایی از توده گرانیتوئیدی صاحب، A: تصویری از رخمنون صحرایی توده نفوذی در منطقه مورد بررسی (دید عکس به سمت شمال)، B: تصویر نمونه دستی از توده گرانیتوئیدی صاحب شامل کانی‌های ارتوکلاز، کوارتز، بیوتیت و آمفیبیول، C: نمایی نزدیک از توده نفوذی منطقه که دارای درشت‌بلورهای ارتوکلاز است و D: تصویری از دایک مافیک که توده گرانیتوئیدی را قطع کرده است (دید عکس به سمت شمال).

**Fig. 2.** Field images from the Saheb granitoid body, A: Field outcrop of the intrusive body in the study area (view direction to the north), B: Hand-specimen from the Saheb granitoid body including orthoclase, quartz, biotite and amphibole minerals, C: A close view of the intrusive body containing coarse grains of orthoclase, and D: The mafic dyke cutting the Saheb granitoid body (view direction to the north).

آپاتیت، اسفن، زیرکن و کانی‌های کدر هستند (شکل F-3). کانی‌های ثانویه شامل سریسیت، کانی‌های رسی، کلریت، اسفن و اوپک ثانویه هستند.

### زیرکن

ریخت‌شناسی دانه‌های زیرکن، یکی از بهترین روش‌های برای بررسی ویژگی‌های ریخت‌شناسی بلورهای زیرکن، تهیه و بررسی تصاویر میکروسکوپی از دانه‌های جدا شده زیرکن و به‌ویژه تهیه تصاویر کاتدولومینسانس (برای بررسی ساختار درونی زیرکن‌ها) است. تصاویر کاتدولومینسانس تهیه شده از

بلورهای بی‌شکل تا نیمه‌شکل دار کوارتز در اندازه‌های مختلف 0/1 تا 3 میلی‌متر)، 20 تا 30 درصد حجمی مونزو‌گرانیت‌ها را تشکیل داده‌اند. کوارتزها معمولاً به صورت بین بلوری فضای بین کانی‌های دیگر را اشغال کرده‌اند. کانی‌های مافیک این سنگ‌ها شامل بیوتیت و آمفیبیول هستند که در مجموع 15 درصد حجمی مونزو‌گرانیت‌ها را تشکیل می‌دهند. بیوتیت در اندازه‌های 0/1 تا 0/5 میلی‌متر در این سنگ‌ها قابل مشاهده است. آمفیبیول‌ها که فراوانی کمتری نسبت به بیوتیت در این سنگ‌ها دارند، اغلب به صورت بلورهای شکل دار تا نیمه‌شکل دار در اندازه‌های 0/3 تا 0/9 میلی‌متر قابل مشاهده‌اند. کانی‌های فرعی این سنگ‌ها شامل

(Miller, 1993). در ضمن، در بلورهای زیرکن در هیچ کدام از نمونه‌ها اثری از منطقه‌بندی و لایه برهم‌رشدی مربوط به تبلور دگرگونی دیده نمی‌شود. بنابراین کلیه زیرکن‌های مورد بررسی، سن توده‌های مربوط به باتولیت صاحب را نشان می‌دهند.

### سن سنجی زیرکن‌ها

سن سنجی باتولیت گرانیتوئیدی صاحب به روش U-Pb بر روی کانی زیرکن، در نمونه‌های مورد بررسی نشان‌دهنده سن،  $0/56 \pm 62/03 \pm 62/03$  میلیون سال با میانگین سنی برابر با  $62/09 \pm 0/50$  برای نمونه کوارتزمونزونیت (Ch2) (شکل A-5 و B)، سن  $0/9 \pm 58/9$  با میانگین سنی برابر با  $61/68 \pm 0/44$  برای نمونه کوارتزمونزونیت (Ch4) (شکل C-5 و D)، سن به دست آمده برای نمونه کوارتزمونزودیوریت (Ch7)  $1/3 \pm 67/9$  میلیون سال با میانگین سنی برابر با  $67/3 \pm 1/2$  (شکل E-5 و F) و سن به دست آمده برای نمونه مونزوگرانیت (Ch15)  $0/56 \pm 61/32 \pm 10/61$  میلیون سال با میانگین سنی برابر با  $61/32 \pm 0/42$  (شکل G-5 و H) است (جدول 1). به طور کلی، سن‌های به دست آمده از این باتولیت گرانیتوئیدی بیانگر آن است که توده‌های سازنده باتولیت صاحب در زمان کرتاسه پایانی - پالوسن آغازین در واحدهای قدیمی تر موجود در منطقه تزریق شده‌اند که در ادامه درباره تکامل ماقمایی و ژئودینامیک توده‌های یادشده به طور مفصل بحث شده است.

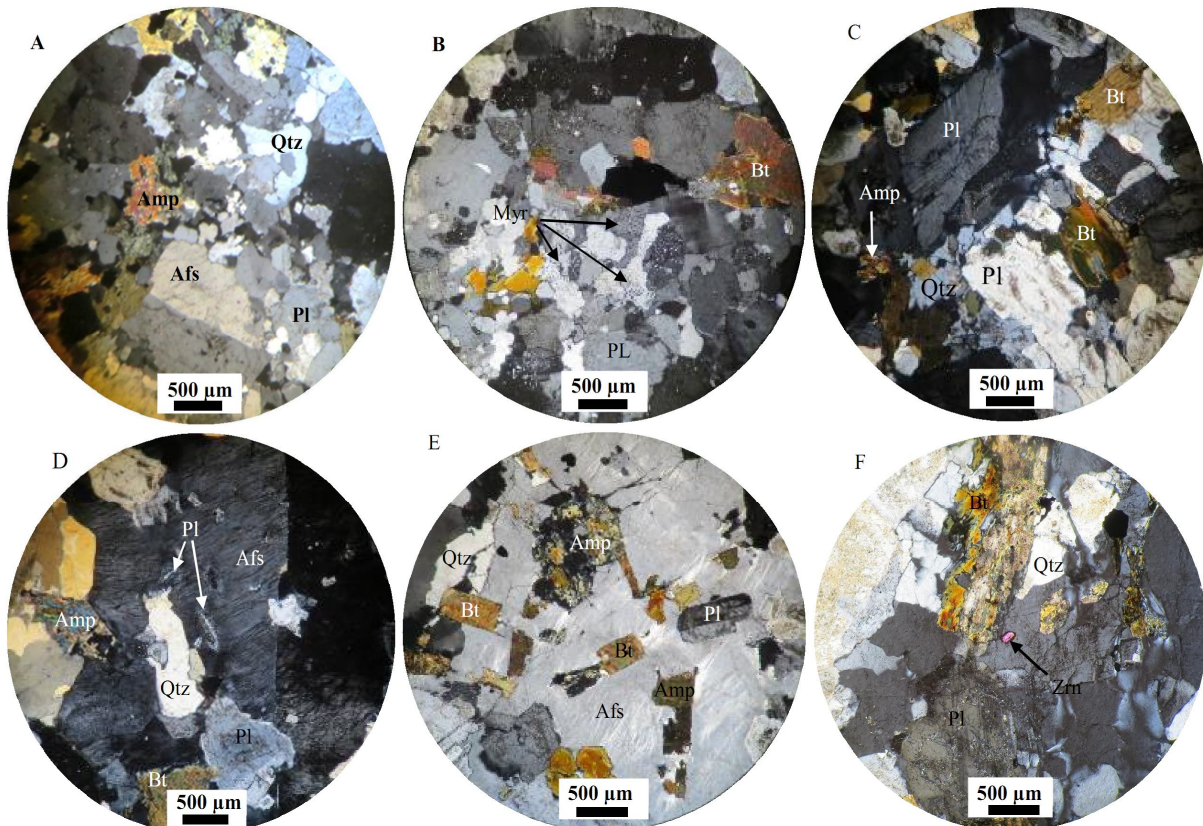
### تاریخچه ماقمایی و ژئودینامیک منطقه

بیشتر افرادی که بر روی زمین‌شناسی ایران کار کرده‌اند، ایران را به عنوان بخشی از ابرقاره گندوانا در نظر می‌گیرند که پی‌سنگ آن بسیار شبیه به پی‌سنگ عربی بوده و بعد از کوه‌زایی Berberian and King (1981; 2008) آفریکن تشکیل شده است (Hassanzadeh et al., 2008). همچنین به باور برخی دیگر از پژوهشگران، ایران را متشکل از قطعات قاره‌ای دانسته‌اند که بر اثر بازشدگی اقیانوس نشوتیس و پالوثوتیس از ابرقاره گندوانا جدا شده و سپس با بسته‌شدن اقیانوس‌های نشوتیس و پالوثوتیس

زیرکن‌های آنالیز شده مربوط به بخش‌های مختلف باتولیت صاحب، در شکل 4 نمایش داده شده‌اند. بر اساس این شکل، کانی زیرکن موجود در توده کوارتزمونزونیت (نمونه‌های Ch2 و Ch4)، از نظر اندازه از ریزبلور تا متوسط بلور متغیر هستند. اندازه زیرکن‌های ریز بلور حدود 80 میکرون و اندازه زیرکن‌های درشت‌بلور حدود 200 میکرون هستند. رنگ کانی زیرکن در این توده صورتی رنگ است و زیرکن‌ها حالت کوتاه و قطعه‌دار و در موارد کمی حالت کشیده دارند. از نظر شکل زیرکن‌های موجود در این توده بیشتر شکل دار و دارای نسبت ابعادی (نسبت طول به عرض)  $0/7 \pm 2/5$  هستند. این نمونه‌ها دارای منطقه‌بندی ماقمایی هستند که در تصویر (CL) Cathodo Luminescence به‌وضوح دیده می‌شود. بلورهای زیرکن موجود در توده کوارتزمونزودیوریت (Ch7) از نظر اندازه تنوع کمتری داشته و از لحاظ اندازه  $120-170$  میکرون هستند. رنگ این زیرکن‌ها از صورتی کم رنگ تا سفید تغییر می‌کند. زیرکن‌های موجود بیشتر به حالت کوتاه و قطعه‌دار هستند و نسبت ابعادی  $1 \pm 2$  نشان می‌دهند. منطقه‌بندی نوسانی در نمونه‌های زیرکن کوارتزمونزودیوریت کمتر از نمونه‌های سایر توده‌های مورد بررسی دیده می‌شود. به طور کلی، عدم شباهت بلورهای زیرکن در نمونه کوارتزمونزودیوریت با سایر نمونه‌ها، احتمالاً حاکی از تاریخچه ماقمایی مجزای توده کوارتزمونزودیوریتی نسبت به توده‌های کوارتزمونزونیتی و مونزوگرانیتی در باتولیت گرانیتوئیدی صاحب است. کانی‌های زیرکن موجود در توده مونزوگرانیت (Ch15) از نظر اندازه از ریزبلور تا متوسط‌بلور تغییر می‌کنند؛ به طوری که کانی‌های ریزبلور دارای اندازه حدود 70 میکرون و بلورهای زیرکن متوسط‌بلور دارای اندازه حدود 150 میکرون هستند. رنگ این زیرکن‌ها صورتی است و به صورت بلورهای کشیده (با نسبت ابعادی  $1 \pm 2$ ) دیده می‌شوند. زیرکن‌های موجود در نمونه مونزوگرانیتی بسیار شبیه به انواع موجود در نمونه کوارتزمونزونیتی بوده و دارای منطقه‌بندی واضح هستند که نشان‌دهنده منشأ ماقمایی زیرکن‌هاست (Hanchar and

ساخترای ایران است که تعداد زیادی توده‌های نفوذی در آن گزارش شده‌اند (Ahadnejad et al., 2011).

دوباره بهم چسبیده‌اند (Hassanzadeh et al., 2008). پنهان ستدج-سیرجان یکی از مهم‌ترین پنهان‌های زمین‌شناسی-

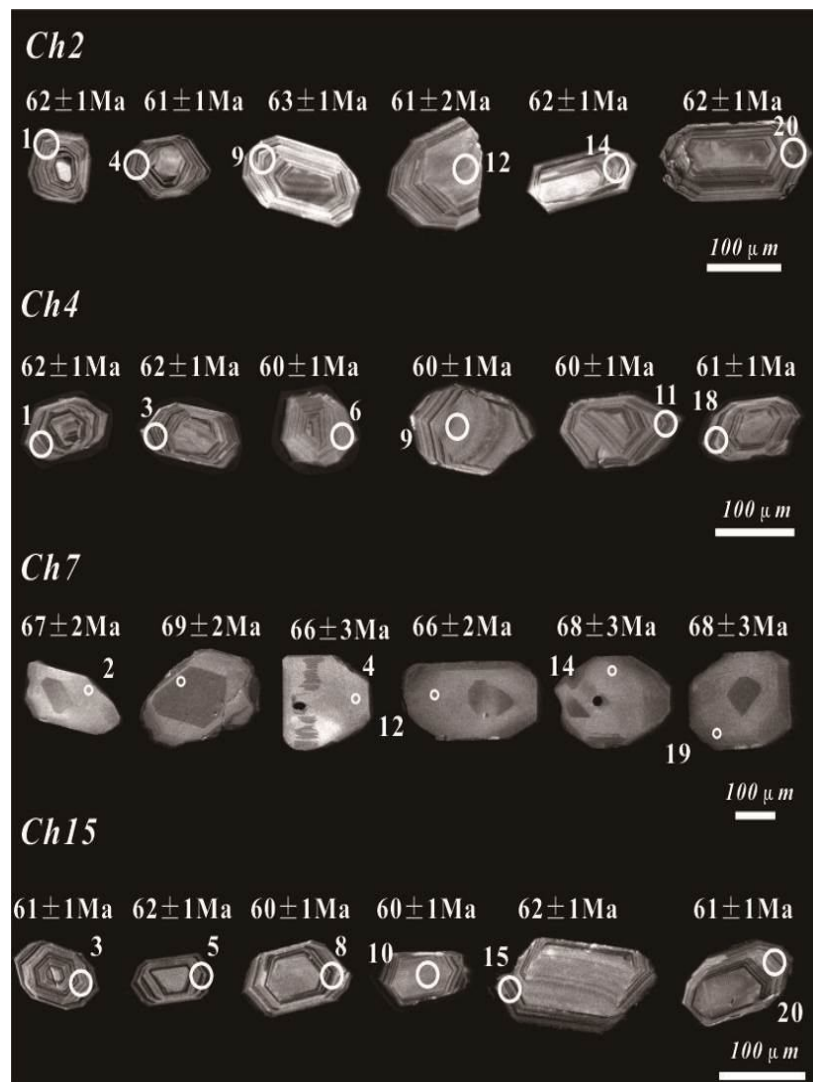


شکل ۳. تصاویر میکروسکوپی از باتولیت صاحب، A: بافت گرانولار ناهمسان‌دانه و کانی‌های اصلی تشکیل‌دهنده کوارتز‌منزودیوریت شامل پلازیوکلاز، ارتوکلاز، کوارتز و آمفیبول، B: بافت میرمکیتی در کوارتز‌منزودیوریت، C: بافت گرانولار ناهمسان‌دانه و بلورهای کوارتز آمفیبول، پلازیوکلاز و بیوتیت در کوارتز‌منزونیت، D: بلورهای پلازیوکلاز، کوارتز، بیوتیت، آمفیبول محصور در بلور بزرگ ارتوکلاز با بافت پرتیتی در کوارتز‌منزونیت، E: بلور درشت ارتوکلاز موجود در توده منزون‌گرانیتی با بافت پرتیتی که کانی‌های بیوتیت، پلازیوکلاز و آمفیبول را به صورت ادخال در پرتیت ایجاد کرده است و F: کانی زیرکن، بیوتیت، پلازیوکلاز و کوارتز (قطع عرضی) در نمونه منزون‌گرانیتی. علایم  $\mu$  اختصاری از ویتنی و اولنز Zrn: Zircon, Afs: alkali feldspar, Qtz: Quartz, Amp: Amphibole, Bt: Biotite, Pl: Plagioclase, Myr: Myrmekite texture).

**Fig. 3.** Microscopic images of the Saheb batholith, A: Inequigranular texture and the main minerals of quartz monzodiorite including plagioclase, orthoclase, quartz and amphibole, B: Myrmekite texture in quartz monzodiorite, C: Inequigranular texture and quartz, amphibole, plagioclase and biotite in quartzmonzonite, D: Chadacrysts of plagioclase, quartz, biotite and amphibole in the large orthoclase crystal with perthitic texture in quartzmonzonite, E: The large crystal of orthoclase with perthite texture in the monzogranite sample containing chadacrysts of biotite, plagioclase and amphibole, and F: Zircon, biotite, plagioclase and quartz minerals in monzogranite samples. Abbreviations after Whitney and Evans (2010) (Pl: Plagioclase, Afs: alkali feldspar, Qtz: Quartz, Amp: Amphibole, Bt: Biotite, Zrn: Zircon, Myr: Myrmekite texture).

و 3- برخورد ورقه‌های قاره‌ای ایران و عربی (Mohajjal et al., 2003). توده‌های نفوذی موجود در بخش شمالی پهنه سنتدج-سیرجان از اوخر ژوراسیک-اوایل کرتاسه تا ائوسن (Mahmoudi et al., 2011).

ستدج-سیرجان بخشی از کوهزاد زاگرس است که اغلب از سنگ‌های دگرگونی و ماقمایی مزوژوئیک تشکیل شده است (Mohajjal et al., 2003). عمدۀ ساختارهای موجود در پهنه سنتدج-سیرجان در طی سه رخداد مجزا تشکیل شده‌اند: 1- فروزانش در طول حاشیه ایران مرکزی در شمال خاوری حاشیه نوتنیس، 2- بالا آمدن افیولیت در شمال خاوری حاشیه نوتنیس



شکل 4. تصاویر کاتدولومینسانس از زیرکن‌های سن‌سنجی شده باتولیت گرانیتوئیدی صاحب. دایره‌های سفید محل سن‌سنجی به روش U-Pb را نشان می‌دهند.

**Fig. 4.** Cathodoluminescence images of dated zircons from the Saheb granitoid. The white circles show the location of dating using U-Pb method..

جدول 1. داده‌های سن‌سنجی U-Pb زیرکن مربوط به باتولیت صاحب  
Table 1. Zircon U-Pb dating data from the Saheb batholith

Spots	Pb ppm	$^{232}\text{Th}$ ppm	$^{238}\text{U}$ ppm	$^{207}\text{Pb}/^{206}\text{Pb}$ Ratio	$^{207}\text{Pb}/^{206}\text{Pb}$ 1sigma	$^{207}\text{Pb}/^{235}\text{U}$ Ratio	$^{207}\text{Pb}/^{235}\text{U}$ 1sigma	$^{206}\text{Pb}/^{238}\text{U}$ Ratio
<b>Ch-4-01</b>	29.67	853.3	876.13	0.048965	0.002855	0.065005	0.003608	0.00969
<b>Ch-4-02</b>	20.15	535.08	700.05	0.049672	0.003033	0.066331	0.00384	0.009786
<b>Ch-4-03</b>	29.75	826.76	972.19	0.04936	0.002907	0.064739	0.003649	0.009639
<b>Ch-4-04</b>	17.18	430.37	685.72	0.04624	0.003027	0.062903	0.003951	0.00975
<b>Ch-4-05</b>	17.01	443.7	647.13	0.049198	0.003245	0.066266	0.0042	0.009762
<b>Ch-4-06</b>	15.55	407.3	613.2	0.047463	0.003299	0.061817	0.004078	0.009393
<b>Ch-4-07</b>	16.2	420.72	577.44	0.050207	0.003463	0.065422	0.00407	0.009608
<b>Ch-4-08</b>	18.33	489.27	628.12	0.047158	0.002841	0.063089	0.003507	0.009804
<b>Ch-4-09</b>	12.47	322.62	521.88	0.047839	0.003248	0.062276	0.003896	0.00947
<b>Ch-4-10</b>	21.77	582	738.39	0.049323	0.002768	0.06497	0.003521	0.009584
<b>Ch-4-11</b>	15.27	401.62	632.24	0.046468	0.00289	0.060522	0.003475	0.00943
<b>Ch-4-12</b>	10.94	285.87	478.86	0.047282	0.003241	0.060622	0.003691	0.009392
<b>Ch-4-14</b>	16.79	458.52	594.55	0.04937	0.003695	0.063679	0.004291	0.00939
<b>Ch-4-15</b>	20.53	574.79	711.95	0.051632	0.004763	0.070387	0.006548	0.009776
<b>Ch-4-16</b>	16.76	440.64	627.15	0.047649	0.002618	0.063941	0.003663	0.009665
<b>Ch-4-17</b>	19.74	521.97	747.41	0.049969	0.00345	0.066825	0.004248	0.009741
<b>Ch-4-18</b>	21.77	610.52	718.6	0.050229	0.003591	0.065073	0.004132	0.009663
<b>Ch-4-19</b>	12.49	329.77	450.62	0.048579	0.003674	0.06623	0.004554	0.009785
Spots	$^{206}\text{Pb}/^{238}\text{U}$ 1sigma	$^{208}\text{Pb}/^{232}\text{Th}$ Ratio	$^{208}\text{Pb}/^{232}\text{Th}$ 1sigma	$^{238}\text{U}/^{232}\text{Th}$ Ratio	$^{207}\text{Pb}/^{235}\text{U}$ Age (Ma)	$^{207}\text{Pb}/^{235}\text{U}$ 1sigma	$^{206}\text{Pb}/^{238}\text{U}$ Age (Ma)	$^{206}\text{Pb}/^{238}\text{U}$ 1sigma
<b>Ch-4-01</b>	0.000135	0.002961	7.74E-05	0.991548	146.38	-62.03	63.94857	3.440574
<b>Ch-4-02</b>	0.000155	0.003109	9.03E-05	1.278406	188.97	142.5725	65.21162	3.656341
<b>Ch-4-03</b>	0.000127	0.002996	9.14E-05	1.136152	164.9	138.87	63.69434	3.480517
<b>Ch-4-04</b>	0.00013	0.003165	0.000115	1.543502	9.36	151.835	61.94205	3.774818
<b>Ch-4-05</b>	0.000186	0.003254	0.000134	1.49198	166.75	138.865	65.15006	4.000276
<b>Ch-4-06</b>	0.000137	0.003058	0.000109	1.477112	72.315	159.235	60.90443	3.900031
<b>Ch-4-07</b>	0.000151	0.003121	0.000111	1.345628	211.185	165.72	64.34582	3.878941
<b>Ch-4-08</b>	0.000156	0.003087	0.00011	1.257934	57.5	137.025	62.12001	3.349644
<b>Ch-4-09</b>	0.000173	0.002985	0.00012	1.609248	100.09	155.53	61.34267	3.724399
<b>Ch-4-10</b>	0.00013	0.003052	0.000112	1.25515	164.9	133.315	63.91513	3.357214
<b>Ch-4-11</b>	0.000142	0.002926	0.000119	1.578378	20.47	144.43	59.66548	3.32717
<b>Ch-4-12</b>	0.000141	0.002904	0.000126	1.698169	64.91	155.53	59.76053	3.533973
<b>Ch-4-14</b>	0.000166	0.002967	0.000111	1.340093	164.9	166.64	62.68361	4.096011
<b>Ch-4-15</b>	0.00025	0.002874	0.00015	1.29456	333.39	217.565	69.0663	6.212034
<b>Ch-4-16</b>	0.000158	0.003032	9.85E-05	1.51468	83.425	122.205	62.93372	3.496463
<b>Ch-4-17</b>	0.00016	0.003029	0.000113	1.526155	194.525	156.46	65.68241	4.043142
<b>Ch-4-18</b>	0.000181	0.002974	9.41E-05	1.276595	205.63	166.645	64.01335	3.939593
<b>Ch-4-19</b>	0.00019	0.003249	0.000151	1.487162	127.865	170.345	65.11514	4.336613

ادامه جدول 1. داده‌های سن سنجی U-Pb زیرکن مربوط به باتولیت صاحب

Table 1 (Continued). Zircon U-Pb dating data from the Saheb batholith

Spots	Pb	$^{232}\text{Th}$	$^{238}\text{U}$	$^{207}\text{Pb}/^{206}\text{Pb}$	$^{207}\text{Pb}/^{206}\text{Pb}$	$^{207}\text{Pb}/^{235}\text{U}$	$^{207}\text{Pb}/^{235}\text{U}$	$^{206}\text{Pb}/^{238}\text{U}$
	ppm	ppm	ppm	Ratio	1sigma	Ratio	1sigma	Ratio
Ch-2-01	18.45	452.5	671.31	0.049	0.003	0.0646	0.0036	0.0098
Ch-2-02	30.71	834.06	905.74	0.0501	0.0023	0.0673	0.0029	0.0098
Ch-2-03	11.91	318.28	486.63	0.053	0.004	0.0645	0.0038	0.0094
Ch-2-04	28.22	805.77	898.85	0.0484	0.0029	0.0632	0.0036	0.0096
Ch-2-05	17.17	455.98	613.71	0.0498	0.0033	0.0654	0.0039	0.0097
Ch-2-06	16.58	465.86	532.52	0.0486	0.0045	0.0619	0.0051	0.0095
Ch-2-07	18.51	456.94	607.07	0.0535	0.0101	0.0651	0.0101	0.0094
Ch-2-08	31.9	851.43	1146.4	0.0497	0.0022	0.0662	0.0029	0.0097
Ch-2-09	15.91	413.8	480.9	0.05	0.0042	0.0677	0.0051	0.0099
Ch-2-10	14.52	402.31	500.95	0.0488	0.004	0.0611	0.0046	0.0095
Ch-2-11	14.13	348.08	566.75	0.0488	0.0039	0.0657	0.005	0.0097
Ch-2-12	14.25	372.04	510.02	0.0489	0.0053	0.0632	0.0064	0.0095
Ch-2-14	14.23	377.7	519.55	0.05	0.004	0.0642	0.0043	0.0097
Ch-2-15	9.6	246.96	450.57	0.0498	0.0036	0.0651	0.004	0.0096
Ch-2-16	14.69	382.87	469.19	0.0496	0.0037	0.0668	0.0047	0.0098
Ch-2-17	10.72	255.58	487.82	0.05	0.0038	0.065	0.0043	0.0096
Ch-2-19	11.88	307.12	514.75	0.0487	0.0066	0.0657	0.0083	0.0099
Ch-2-20	19.92	542.4	673.01	0.0502	0.0027	0.0668	0.0035	0.0098
Spots	$^{206}\text{Pb}/^{238}\text{U}$	$^{208}\text{Pb}/^{232}\text{Th}$	$^{208}\text{Pb}/^{232}\text{Th}$	$^{238}\text{U}/^{232}\text{Th}$	$^{207}\text{Pb}/^{235}\text{U}$	$^{207}\text{Pb}/^{235}\text{U}$	$^{206}\text{Pb}/^{238}\text{U}$	$^{206}\text{Pb}/^{238}\text{U}$
	1sigma	Ratio	1sigma	Ratio	Age (Ma)	1sigma	Age (Ma)	1sigma
Ch-2-01	0.0002	0.0033	0.0001	1.5332	63.56	3.46268	62.69	1.03757
Ch-2-02	0.0001	0.0032	0.0001	1.1112	66.17	2.72234	62.95	0.80435
Ch-2-03	0.0002	0.0029	0.0001	1.5662	63.46	3.62699	60.42	1.54722
Ch-2-04	0.0001	0.0029	0.0001	1.1481	62.24	3.40544	61.44	0.83388
Ch-2-05	0.0002	0.003	0.0001	1.3875	64.35	3.76256	62.38	1.02816
Ch-2-06	0.0002	0.0029	0.0001	1.1827	61.01	4.83479	61.04	1.12465
Ch-2-07	0.0003	0.0033	0.0002	1.3754	64.03	9.58578	60.59	2.12119
Ch-2-08	0.0001	0.003	0.0001	1.3891	65.05	2.79435	61.93	0.86528
Ch-2-09	0.0002	0.0032	0.0001	1.1854	66.52	4.85789	63.5	1.08765
Ch-2-10	0.0002	0.0029	0.0001	1.2578	60.24	4.42798	60.72	1.06841
Ch-2-11	0.0002	0.0031	0.0001	1.6392	64.64	4.79656	62.51	0.97514
Ch-2-12	0.0002	0.0033	0.0002	1.4916	62.21	6.12889	61.12	1.56544
Ch-2-14	0.0002	0.003	0.0001	1.3525	63.22	4.06984	62.44	1.18986
Ch-2-15	0.0002	0.0028	0.0001	1.8005	64.01	3.84946	61.66	1.09687
Ch-2-16	0.0002	0.0031	0.0001	1.2081	65.62	4.43238	62.78	1.53677
Ch-2-17	0.0002	0.003	0.0001	1.8566	63.96	4.11739	61.8	1.06787
Ch-2-19	0.0003	0.0028	0.0002	1.6174	64.62	7.90735	63.19	2.00249
Ch-2-20	0.0001	0.003	0.0001	1.1933	65.67	3.30297	62.61	0.91077

ادامه جدول 1. داده‌های سن‌سنجی U-Pb زیرکن مربوط به باتولیت صاحب

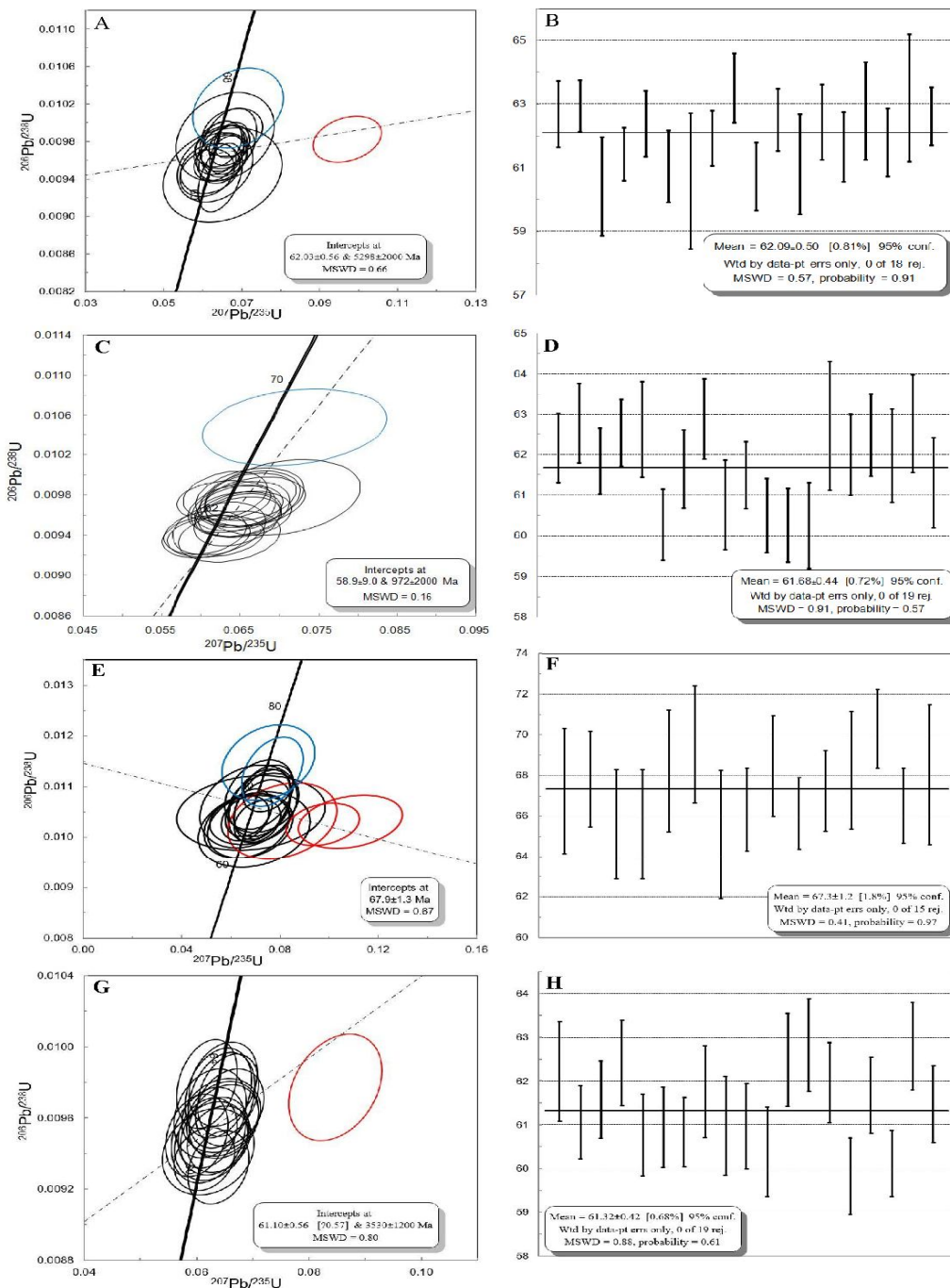
Table 1 (Continued). Zircon U-Pb dating data from the Saheb batholith

spots	Pb ppm	$^{232}\text{Th}$ ppm	$^{238}\text{U}$ ppm	$^{207}\text{Pb}/^{206}\text{Pb}$ Ratio	$^{207}\text{Pb}/^{206}\text{Pb}$ 1sigma	$^{207}\text{Pb}/^{235}\text{U}$ Ratio	$^{207}\text{Pb}/^{235}\text{U}$ 1sigma	$^{206}\text{Pb}/^{238}\text{U}$ Ratio
<b>Ch-7-01</b>	2.95	79.4	82.31	0.058383	0.016331	0.068205	0.019892	0.010483
<b>Ch-7-02</b>	4.3	111.69	112.72	0.061415	0.011624	0.072596	0.00765	0.010575
<b>Ch-7-03</b>	7.08	190.03	131.29	0.047696	0.010066	0.066386	0.011451	0.010229
<b>Ch-7-04</b>	4.28	114.35	113.18	0.05175	0.012117	0.067812	0.011399	0.010226
<b>Ch-7-06</b>	2.63	74.34	75.4	0.059246	0.01054	0.071552	0.008323	0.010638
<b>Ch-7-08</b>	2.67	71.19	82.66	0.053215	0.00954	0.071492	0.009229	0.010847
<b>Ch-7-09</b>	4.26	106.2	101.33	0.053564	0.012582	0.069518	0.015058	0.010148
<b>Ch-7-10</b>	4.73	116.84	116.89	0.055994	0.009935	0.067704	0.010746	0.010343
<b>Ch-7-11</b>	4.81	125.79	133.52	0.051339	0.008417	0.073292	0.009481	0.010678
<b>Ch-7-12</b>	7	180.81	192.91	0.05196	0.006084	0.070658	0.006231	0.010311
<b>Ch-7-13</b>	4.59	119.76	108.92	0.053018	0.007829	0.06725	0.006194	0.010486
<b>Ch-7-14</b>	3.06	62.86	89.15	0.055796	0.009684	0.072915	0.007647	0.010644
<b>Ch-7-16</b>	4.81	124.48	149.45	0.05354	0.00609	0.07492	0.00671	0.01097
<b>Ch-7-17</b>	3.81	96.3	108.92	0.0508	0.0083	0.0769	0.0082	0.0113
<b>Ch-7-18</b>	2.84	60.52	68.47	0.0622	0.0188	0.0753	0.0124	0.0115
<b>Ch-7-19</b>	5.72	132.21	155.75	0.049942	0.006308	0.06577	0.006366	0.010373
<b>Ch-7-20</b>	4.34	119.94	109.67	0.052265	0.012292	0.067282	0.013042	0.010611
spots	$^{206}\text{Pb}/^{238}\text{U}$ 1sigma	$^{208}\text{Pb}/^{232}\text{Th}$ Ratio	$^{208}\text{Pb}/^{232}\text{Th}$ 1sigma	$^{238}\text{U}/^{232}\text{Th}$ Ratio	$^{207}\text{Pb}/^{206}\text{Pb}$ Age (Ma)	$^{207}\text{Pb}/^{206}\text{Pb}$ 1sigma	$^{207}\text{Pb}/^{235}\text{U}$ Age (Ma)	$^{207}\text{Pb}/^{235}\text{U}$ 1sigma
<b>Ch-7-01</b>	0.000485	0.003155	0.000316	1.08475	542.63	518.485	66.99456	18.90874
<b>Ch-7-02</b>	0.000369	0.003418	0.000253	1.048405	653.72	416.625	71.15993	7.242016
<b>Ch-7-03</b>	0.000425	0.003565	0.000221	0.719006	83.425	436.985	65.26426	10.9036
<b>Ch-7-04</b>	0.000422	0.003496	0.000231	1.019977	275.99	462.905	66.62056	10.83959
<b>Ch-7-06</b>	0.000469	0.003241	0.000242	1.035919	575.96	360.9175	70.17104	7.887296
<b>Ch-7-08</b>	0.000451	0.003354	0.000251	1.196025	338.945	360.755	70.11444	8.746169
<b>Ch-7-09</b>	0.000495	0.003564	0.00028	0.990703	353.76	457.04	68.24214	14.29591
<b>Ch-7-10</b>	0.00032	0.003738	0.000193	1.052496	453.75	202.7525	66.51859	10.21922
<b>Ch-7-11</b>	0.000389	0.003339	0.000212	1.123274	257.47	337	71.81861	8.969133
<b>Ch-7-12</b>	0.000276	0.00331	0.000168	1.133802	283.395	248.125	69.32337	5.909832
<b>Ch-7-13</b>	0.00031	0.003252	0.000181	0.965732	327.835	307.365	66.08609	5.893106
<b>Ch-7-14</b>	0.000453	0.004067	0.000306	1.498356	442.64	195.345	71.46166	7.237226
<b>Ch-7-16</b>	0.0003	0.00325	0.0002	1.23305	350.055	259.228	73.3574	6.33832
<b>Ch-7-17</b>	0.0005	0.0031	0.0002	1.1693	231.55	340.71	75.23	7.7773
<b>Ch-7-18</b>	0.0005	0.0037	0.0003	1.1613	681.18	540.73	73.698	11.72
<b>Ch-7-19</b>	0.000291	0.003539	0.000179	1.201723	190.82	270.335	64.67693	6.065493
<b>Ch-7-20</b>	0.000538	0.003101	0.000267	0.925606	298.21	462.905	66.11726	12.40812

## ادامه جدول 1. داده‌های سن سنجی U-Pb زیرکن مربوط به باتولیت صاحب

Table 1 (Continued). Zircon U-Pb dating data from the Saheb batholith

spots	Pb	$^{232}\text{Th}$	$^{238}\text{U}$	$^{207}\text{Pb}/^{206}\text{Pb}$	$^{207}\text{Pb}/^{206}\text{Pb}$	$^{207}\text{Pb}/^{235}\text{U}$	$^{207}\text{Pb}/^{235}\text{U}$	$^{206}\text{Pb}/^{238}\text{U}$
	ppm	ppm	ppm	Ratio	1sigma	Ratio	1sigma	Ratio
Ch-15-02	13.38	368.58	522.17	0.048889	0.0033	0.0644	0.003974	0.009699
Ch-15-03	19.92	593.51	652.77	0.048067	0.003024	0.061962	0.003482	0.009515
Ch-15-04	20.82	552.57	741.15	0.049197	0.003301	0.064625	0.004249	0.009596
Ch-15-05	20.39	550.45	678.48	0.049307	0.002814	0.065616	0.003599	0.009729
Ch-15-06	15.92	441.46	538.6	0.047686	0.003454	0.062591	0.004273	0.009471
Ch-15-07	16.84	457.87	574.77	0.048442	0.003317	0.063233	0.004032	0.009497
Ch-15-08	25.77	777.3	804.69	0.049221	0.00297	0.063948	0.003719	0.009482
Ch-15-09	13.11	358.28	465.28	0.047372	0.003621	0.062434	0.004219	0.009626
Ch-15-10	12.84	353.77	589.79	0.048058	0.00347	0.062146	0.004355	0.009503
Ch-15-11	15.67	462.6	574.82	0.045768	0.002897	0.060048	0.003669	0.009502
Ch-15-12	15.22	406.76	600.12	0.047568	0.004323	0.062093	0.005422	0.009411
Ch-15-13	14.43	384.66	579.71	0.04817	0.003108	0.0639	0.003883	0.00974
Ch-15-14	15.6	417.46	592.69	0.046338	0.002899	0.061879	0.003572	0.009792
Ch-15-15	14.99	408.73	615.29	0.049688	0.003195	0.065909	0.003984	0.009658
Ch-15-16	25.24	793.09	806.23	0.049711	0.002937	0.063874	0.003629	0.009324
Ch-15-17	16.48	431.53	642.42	0.048612	0.003691	0.06438	0.004644	0.009613
Ch-15-18	39.82	1219.74	923.12	0.047346	0.002792	0.061373	0.00355	0.009369
Ch-15-19	46.09	1355.21	988.16	0.047774	0.002937	0.06476	0.003995	0.009789
Ch-15-20	14.55	394.12	618.38	0.049986	0.00341	0.064895	0.004093	0.009581
spots	$^{206}\text{Pb}/^{238}\text{U}$	$^{208}\text{Pb}/^{232}\text{Th}$	$^{208}\text{Pb}/^{232}\text{Th}$	$^{238}\text{U}/^{232}\text{Th}$	$^{207}\text{Pb}/^{206}\text{Pb}$	$^{207}\text{Pb}/^{206}\text{Pb}$	$^{207}\text{Pb}/^{235}\text{U}$	$^{207}\text{Pb}/^{235}\text{U}$
	1sigma	Ratio	1sigma	Ratio	Age (Ma)	1sigma	Age (Ma)	1sigma
Ch-15-02	0.000178	0.002808	0.000105	1.424578	142.68	151.825	63.37174	3.791682
Ch-15-03	0.000131	0.002753	9.48E-05	1.105581	101.94	153.68	61.04311	3.329481
Ch-15-04	0.000139	0.003025	0.000112	1.346326	166.75	138.865	63.58595	4.052416
Ch-15-05	0.000153	0.003071	0.000118	1.265862	161.195	133.315	64.53065	3.42924
Ch-15-06	0.000146	0.002962	0.000119	1.335592	83.425	172.195	61.6445	4.083791
Ch-15-07	0.000143	0.003119	0.000117	1.324869	120.46	155.53	62.25709	3.85077
Ch-15-08	0.000124	0.002932	8.95E-05	1.039727	166.75	142.5725	62.9405	3.549754
Ch-15-09	0.000165	0.003146	0.000111	1.306162	77.87	161.085	61.49418	4.032234
Ch-15-10	0.000177	0.002965	0.000109	1.754637	101.94	162.94	61.21885	4.163086
Ch-15-11	0.000153	0.002929	0.000103	1.250382	error		59.21084	3.514247
Ch-15-12	0.00016	0.003124	0.000108	1.4921	76.02	203.67	61.16865	5.183793
Ch-15-13	0.000167	0.003081	0.000119	1.544064	109.35	144.42	62.89429	3.705861
Ch-15-14	0.000165	0.003139	9.86E-05	1.467516	16.765	149.985	60.96392	3.415795
Ch-15-15	0.000143	0.002957	9.42E-05	1.566979	188.97	145.35	64.80954	3.795512
Ch-15-16	0.000136	0.002835	8.97E-05	1.074804	188.97	141.6475	62.86943	3.463666
Ch-15-17	0.000137	0.00316	0.000112	1.575277	127.865	170.345	63.35211	4.430708
Ch-15-18	0.000118	0.003045	8.07E-05	0.869884	64.91	146.275	60.47954	3.396227
Ch-15-19	0.000156	0.00323	9.05E-05	0.775926	87.13	140.715	63.71505	3.810137
Ch-15-20	0.000137	0.002959	0.000102	1.676728	194.525	159.2375	63.84343	3.903042

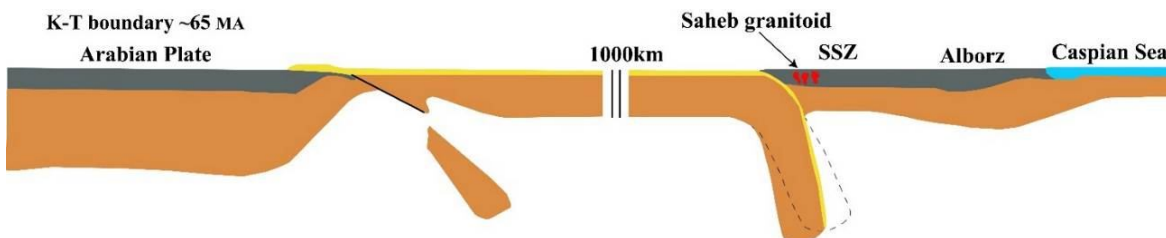


شکل ۵. نمودار کنکوردیا و نمودار میانگین وزنی زیرکن مربوط به باتولیت صاحب، A, B, C, D: نمودارهای مربوط به نمونه‌های کوارتز‌مونزونیت، E, F: نمودارهای مربوط به نمونه کوارتز‌مونزون‌دیوریت و G, H: نمودارهای مربوط به توده مونزوگرانیت

**Fig. 5.** The zircon concordia and weighted mean age diagrams of the Saeb batholith. A, B, C, D: diagrams for quartz monzonite samples, E, F: diagrams for quartz monzodiorite sample, and G, H: diagrams for the monzogranite sample

است (Elyasi and Ahangari, 2015). برخی ویژگی‌های کانی‌شناسی مانند نبود مسکویت و کانی‌های دگرگونی دما بالا در باتولیت گرانیتوئیدی صاحب، و حضور آمفیبول و اسفن اولیه در این سنگ‌ها، تأییدی بر type-I-type بودن باتولیت گرانیتوئیدی موردن بررسی است (Abdollahi et al., 2018). با توجه به سن‌های بدست آمده از آنالیز U-Pb زیرکن، توده‌های کوارتز مونزونیتی و مونزو-گرانیتی تقریباً سن‌های نزدیک بهم دارند که به احتمال زیاد حاصل تفریق ماقمایی است؛ در حالی که توده کوارتز مونزو-دیوریتی قبل از این دو توده به داخل پهنه سنتنگ-سیرجان ترزیق شده است. شروع فرایند بالا آمدن و ترزیق ماقمای در منطقه صاحب به داخل پهنه سنتنگ-سیرجان با ترزیق ماقمای کوارتز مونزو-دیوریتی در حدود 67 میلیون سال پیش یعنی در اوخر دوره کرتاسه بالایی شروع شده است و در اوایل پالاآسن با نفوذ ماقمای کوارتز-مونزونیتی و ترزیق آن به مونزو-گرانیت خاتمه پیدا کرده است. ترزیق فازهای ماقمایی ذکر شده به داخل واحدهای دگرگونی سنتنگ-سیرجان، در طی فروراش و رفه اقیانوسی نوتبیس به زیر رفه ایران رخداده است (شکل 6).

بر اساس زندی و همکاران (Zandi et al., 2018) گرانیتوئید صاحب از گروه ماقمای سابآلکالن بوده که از پتاسیم غنی شده است و در محدوده گرانیتوئیدهای I-Type و از نظر محیط زمین ساختی نیز در محدوده کمان آتشفسانی قرار دارد. بررسی ژئوشیمیایی باتولیت صاحب نشان‌دهنده آن است که باتولیت صاحب یک ماقمای گوشه‌ای بوده که در این ماقمای فرایندی تفریق بلوری و آغشتگی رخداده است؛ به طوری که تفریق بلوری باعث تشکیل سنگ‌های متفاوت کوارتز-مونزونیت، Kholghi کوارتز-مونزو-دیوریت و مونزو-گرانیت شده است (Kholghi and Vossoughi Abedini, 2008 آهنگری (Elyasi and Ahangari, 2015)، ماقمای والد گرانیتوئید صاحب اولیه بوده و از ذوب‌بخشی با درجه پایین (کمتر از 5 درصد) گوشه‌های متاسوماتیسم شده نشأت گرفته است. بررسی ویژگی عناصر نادر خاکی موجود در این توده نشان‌دهنده آن است که آلایش پوسته‌ای تأثیر کمی در تغییر ترکیب ماقمای اولیه داشته است. گوشه مولد توده گرانیتوئیدی صاحب به دلیل ورود سیالات ناشی از فرایند آب‌گیری رسوبات/پوسته اقیانوسی فرورونده متتحمل متاسوماتیسم شده



شکل 6. فروانش لیتوسفر اقیانوسی نوتبیس و ترزیق توده نفوذی صاحب در بخش شمالی پهنه سنتنگ-سیرجان (SSZ) در زمان کرتاسه پایانی - پالاآسن. برگرفته از آگارد و همکاران (Agard et al., 2011) با اعمال تغییرات جزئی در آن

**Fig. 6.** Neo-Tethys ocean subduction during the late Cretaceous-Paleocene and injecting the intrusive mass into the Sanandaj-Sirjan zone (SSZ) in the study area (from Agard et al., 2011 with minor changes)

(کمتر از 5 درصد) گوشه متابسوماتیسم شده منشأ گرفته‌اند. منشأ گوشه در اثر ورود سیالات ناشی از آب‌گیری رسوبات/پوسته اقیانوسی فرورونده متاسوماتیسم شده است (Elyasi and

بر اساس الیاسی و آهنگری (Elyasi and Ahangari, 2015) توده‌های یادشده در یک محیط حاشیه فعال قاره‌ای تشکیل شده‌اند و ماقمای مولد این سنگ‌ها از ذوب‌بخشی درجه پایین

برای نمونه کوارتزمونزونیت (Ch2)، سن  $0/9 \pm 58/9$  میلیون سال و با میانگین سنی برابر با  $61/68 \pm 0/44$  میلیون سال از جمله آمفیبول و پلاژیوکلاز نقش عمده‌ای را در تکوین و روند پتروژئنیکی این توده‌ها داشته است. از توده‌های نفوذی دیگری که هم‌زمان با توده گرانیتوئیدی صاحب به پنهنه سنتدج-سیرجان تزریق شده‌اند، می‌توان به توده حسن‌سالاری (Mahmoudi et al., 2011) (60 Ma) و تکاب (60 Ma) (Jafari et al., 2018) اشاره کرد. تمامی این توده‌ها در طی آخرین مراحل مagma تیسم در پنهنه سنتدج-سیرجان به داخل این پنهنه تزریق شده‌اند که این امر ناشی از فروزانش نتوتیس به زیر ورقه ایران رخداده است.

### قدرتانی

نویسنده‌گان مقاله از حمایت‌های مالی دانشگاه‌های زنجان و مؤسسه علوم زمین چین (ووهان) برای انجام این پژوهش تشکر می‌نمایند. همچنین نویسنده‌گان از سردبیر و داوران محترم نشریه زمین‌شناسی اقتصادی به خاطر راهنمایی‌های علمی ارزنده‌اشان کمال سپاسگزاری را دارند.

Elyasi (Ahangari, 2015 and Ahangari, 2015) بر اساس نظر الیاسی و آهنگری (Ahangari, 2015) تبلور تفریقی و جدایش برخی از کانی‌ها از جمله آمفیبول و پلاژیوکلاز نقش عمده‌ای را در تکوین و روند پتروژئنیکی این توده‌ها داشته است. از توده‌های نفوذی دیگری که هم‌زمان با توده گرانیتوئیدی صاحب به پنهنه سنتدج-سیرجان تزریق شده‌اند، می‌توان به توده حسن‌سالاری (Mahmoudi et al., 2011) (60 Ma) و تکاب (60 Ma) (Jafari et al., 2018) اشاره کرد. تمامی این توده‌ها در طی آخرین مراحل مagma تیسم در پنهنه سنتدج-سیرجان به داخل این پنهنه تزریق شده‌اند که این امر ناشی از فروزانش نتوتیس به زیر ورقه ایران رخداده است.

### نتیجه‌گیری

بررسی‌های میکروسکوپی و سن‌سنجی دانه‌های زیرکن موجود در باтолیت گرانیتوئیدی صاحب، نتایج مهمی را در مورد این باтолیت ارائه کرد. بر اساس بررسی‌های صحرایی و میکروسکوپی باтолیت گرانیتوئیدی یادشده دارای سه ترکیب کوارتزمونزونیت، کوارتزمونزودبیوریت و مونزو-گرانیت است. کانی‌های پلاژیوکلاز، آمفیبول، بیوتیت، کوارتز و ارتوکلاز کانی‌های اصلی تشکیل دهنده توده‌های یادشده بوده و کانی‌های اسفن، آپاتیت، کانی‌های کدر و زیرکن کانی‌های فرعی موجود در توده‌ها هستند. حضور کانی‌های آمفیبول و اسفن وجود کانی‌های دما بالا در توده گرانیتوئیدی صاحب بیانگر I-Type بودن این توده است. بر اساس نتایج سن‌سنجی، سن تبلور  $0/56 \pm 62/03$  میلیون سال و با میانگین سنی برابر با  $0/50 \pm 62/09$

### References

- Abdollahi, F., Nabatian, Gh., Honarmand, M. and Ebrahimi, M., 2018. Geology and petrography of Saheb granitoid intrusive bodies, north of Saqez. The 36th National and the 3rd

International Geosciences Congress, Geological Survey of Iran, Tehran, Iran. (in Persian)

Agard, P.H., Omrani, J., Jolivet, L., Whitechurch, H. and Vrielynck, B., 2011. Zagros orogeny: a

- subduction-dominated process. *Geological Magazine*, 148(5–6): 692–725.
- Aghanabati, A., 2005. Geology of Iran. Geological Survey of Iran, Tehran, 586 pp. (in Persian)
- Ahadnejad, V., Valizadeh, M.V., Deevsalar, R. and Rezaei-Kakhkhaei, M., 2011. Age and geotectonic position of the Malayer granitoids: implication for plutonism in the Sanandaj-Sirjan zone, W Iran. *Neues Jahrbuch für Geologie und Palaontologie*, 261(1): 61–75.
- Alavi, M., 1994. Tectonics of the Zagros Orogenic belt of Iran; new data and interpretations. *Tectonophysics*, 299(3): 211–238.
- Alavi, M., 2004. Regional stratigraphy of the Zagros fold-thrust belt of Iran and its proforeland evolution. *American Journal of Science*, 304(1): 1–20.
- Alavi, M. and Amidi, M., 1976. Geological map of Takab, scale 1: 250000. Geological Survey of Iran. (in Persian)
- Arian, M.A., Emamalipour, A. and Amini, M., 2011. Petrology and geochemistry of granitic mass and those metamorphic hallow in northeast of Saghez. *Quarterly Journal of The Earth*, 6(19): 65–80. (in Persian)
- Arvin, M., Pan, Y., Dargahi, S., Malekizadeh, A. and Babaei, A., 2007. Petrochemistry of the Siah-Kuh granitoid stock southwest of Kerman, Iran: implications for initiation of Neotethys subduction. *Journal of Asian Earth Sciences*, 30(3–4): 474–489.
- Azizi, H., Tanaka, T., Asahara, Y., Mehrabi, B. and Chung, S.L., 2011. Geochronological and geochemical constraints on the petrogenesis of high-K granite from the Suffiabad area, Sanandaj-Sirjan Zone, NW Iran. *Geochemistry*, 71(4): 363–376.
- Baharifar, A.A., Bellon, H., Pique, A. and Moein-Vaziri, H., 2004. The crystalline complexes of Hamadan (Sanandaj-Sirjan zone, western Iran): metasedimentary Mesozoic sequences affected by late Cretaceous tectono-metamorphic and plutonic events. *Comptes Rendus Geoscience*, 336(16): 1443–1452.
- Berberian, M. and King, G.C.P., 1981. Towards a paleogeography and tectonic evolution of Iran. *Canadian Journal of Earth Sciences*, 18(2): 210–265.
- Dana, K., 2009. Investigation of geological, mineralogical and geochemical properties of Saheb skarn. M.Sc. Thesis, Tabriz University, Tabriz, Iran, 155 pp. (in Persian)
- Eftekharneshad, J., 1977. Geological map of Mahabad, scale 1: 250000. Geological Survey of Iran. (in Persian)
- Elyasi, E. and Ahangari, M., 2015. Petrology and geochemistry of felsic to mafic plutonic rocks from the Saheb, West Iran. *Iranian Journal of Geology*, 9(33): 15–30. (in Persian)
- Gansser A., 1981. The Geodynamic History of the Himalaya. In: H.K. Gupta and F.M. Delany (Editors), *Zagros Hindu Kush Himalaya Geodynamic Evolution*, Vol. 3, Geodynamic Series. American Geophysical Union, Washington DC, pp. 111–121.
- Ghalamghash, J., Nedelec, A., Bellon, H., Vosoughi-Abedini, M. and Bouchez, J.L., 2009. The Urumieh plutonic complex (NW Iran): record of the geodynamic evolution of the Sanandaj-Sirjan zone during cretaceous times - Part I: petrogenesis and K/Ar dating. *Journal Asian Earth Sciences*, 35(5): 401–415.
- Ghalamghash, J., Vosoughi Abedini, M., Bellon, H., Emami, M.H., Pourmafi, M. and Rashid, H., 2003. K/Ar age dating of the Oshnavieh plutonic complex. *Scientific Quarterly Geosciences Journal*, 11(47–48): 16–27. (in Persian)
- Ghasemi, A. and Talbot, C.J., 2006. A new tectonic scenario for the Sanandaj-Sirjan Zone (Iran). *Journal of Asian Earth Sciences*, 26(6): 683–693.
- Hanchar, J.M. and Miller, C.F., 1993. Zircon zonation patterns as revealed cathodoluminescence and backscattered electron images: implications for interpretation of complex crustal histories. *Chemical Geology*, 110(1–3): 1–13.
- Hariri, A., 2004. Geological map of Saqez, scale 1: 100000. Geological Survey of Iran. (in Persian)
- Hassanzadeh, J., Stockli, D.F., Horton, B.K., Axen, G.J., Stockli, L.D., Grove, M., Schmitt, A.K. and Walker, J.D., 2008. U–Pb zircon geochronology of late Neoproterozoic–Early Cambrian granitoids in Iran: implications for paleogeography, magmatism, and exhumation history of Iranian basement. *Tectonophysics*, 451(1–4): 71–96.

- Jafari, A., Fazlnia, A. and Jamei, S., 2018. Geochemistry, petrology and geodynamic setting of the Urumieh plutonic complex, Sanandaj–Sirjan zone, NW Iran: New implication for Arabian and Central Iranian plate collision. *Journal of African Earth Sciences*, 139(1): 421–439.
- Kholghi, M.H. and Vossoughi Abedini, M., 2008. Petrogenesis, geodynamics and radiometric age dating of Safakhaneh mass, Northwest of Iran. *Scientific Quarterly Journal, Geosciences*, 17(66): 24–39. (in Persian)
- Kholghi khosragli, M.H., 1999. Geological map of Chapan, scale 1: 100000. Geological Survey of Iran. (in Persian)
- Liu, Y., Gao, S., Hu, Z., Gao, C., Zong, K. and Wang, D., 2010a. Continental and oceanic crust recycling-induced melt-peridotite interactions in the Trans-North China orogen: U-Pb dating, Hf isotopes and trace elements in zircons from mantle xenoliths. *Journal of Petrology*, 51(1–2): 537–571.
- Liu, Y.S., Hu, Z.C., Zong, K.Q., Gao, C.G., Gao, S., Xu, J.A. and Chen, H.H., 2010b. Reappraisal and refinement of zircon U-Pb isotope and trace element analyses by LA-ICP-MS. *Chinese Science Bulletin*, 55(15):1535–1546.
- Mahmoudi, S., Corfu, F., Masoudi, F., Mehrabi, B. and Mohajjel, M., 2011. U-Pb dating and emplacement history of granitoid plutons in the northern Sanandaj–Sirjan Zone, Iran. *Journal of Asian Earth Sciences*, 41(3): 238–249.
- Malekzadeh Shafarodi, A. and Karimpour, M.H., 2011. Zircon U-Pb dating of Maherabad porphyry copper-gold prospect area: evidence for a late Eocene porphyry-related metallogenic epoch in east of Iran. *Journal of Economic Geology*, 3(1): 41–60. (in Persian with English abstract)
- Masoodi, F., Mahmoodi, Sh., Mohajel, M. and Mehrabi, B., 2012. Dating of Arak –Borujerd granitoid intrusions in northern Sanandaj – Sirjan using U-Pb. *Journal of Science Kharazmi University*, 9(2): 437–446 pp. (in Persian)
- Mazhari, S.A., Amini, S., Ghalamghash, J. and Bea, F. 2011. The origin of mafic rocks in the Naqadeh intrusive complex, Sanandaj–Sirjan Zone, NW Iran. *Arabian Journal of Geosciences*, 4(7–8): 1207–1214.
- Mazhari, S.A., Bea, F., Amini, S., Ghalamghash, J., molina, J.F., Montero, P., Scarrow, J.H. and Williams, I.S. 2009. The Eocene bimodal Piranshahr massif of the Sanandaj–Sirjan Zone, NW Iran: a marker of the end of the collision in the Zagros orogeny. *Journal of the Geological Society*, 166(1): 53–69.
- Mohajjel, M., Fergusson, C.L. and Sahandi, M.R., 2003. Cretaceous–Tertiary convergence and continental collision, Sanandaj–Sirjan Zone, western Iran. *Journal of Asian Earth Sciences*, 21(4): 397–412.
- Whitney, D.L. and Evans, B.W., 2010. Abbreviations for names of rock-forming minerals. *American Mineralogist*, 95(1): 185–187.
- Zandi, Z., jafarirad, A., Gourabjeripour, A. and Lotfi, M., 2018. Mineralization, Mineralogy and Geochemistry of Saheb Fe-Cu Deposit of Saqqez (Kurdestan), NW Iran. *Open Journal of Geology*, 8(5): 514–528.
- Zarasvandi, A., Rezaei, M., Tashi, M., Fereydouni, Z. and Saed, M., 2019. Comparison of geochemistry and porphyry copper mineralization efficiency in granitoids of the Sanandaj–Sirjan and Urumieh-Dokhtar zones; using rare earth elements geochemistry. *Journal of Economic Geology*, 11(1): 1–32. (in Persian wtih English abstract)



## Saheb Granitoid Batholith, North of Kurdistan: An Evidence of Cretaceous-Paleocene Magmatism in the Sanandaj-Sirjan Zone

Farid Abdollahi<sup>1</sup>, Ghasem Nabatian<sup>1\*</sup>, Jian Wei Li<sup>2</sup>, Maryam Honarmand<sup>3</sup> and Mohammad Ebrahimi<sup>1</sup>

1) Department of Geology, Faculty of Sciences, University of Zanjan, Zanjan, Iran

2) State Key Laboratory of Geological Processes and Mineral Resources, China University of Geosciences, 430074 Wuhan, China

3) Department of Earth Sciences, Institute for Advanced Studies in Basic Sciences (IASBS), Zanjan, 45137-66731, Iran

Submitted: May 18, 2019

Accepted: Nov. 24, 2019

**Keywords:** U-Pb dating, Paleocene, Sanandaj-Sirjan Zone, Saheb, Granitoid, Saeqez, Kurdistan

### Introduction

The Iranian plateau is part of the Alpine-Himalayan orogenic belt, which consists of several continental fragments separated from each other by major boundary faults and/or ophiolitic suture zones (Gansser, 1981). Generally, the tectonic evolution of Iran has been controlled by the opening and closure of the Proto-Tethys, Paleo-Tethys and the Neo-Tethys during the Precambrian-Cambrian, Paleozoic and Cenozoic, respectively.

The study area is located in the northwest of Iran (the Kurdistan province) and 20 km northeast of the city of Saeqez. This area is a part of the northern Sanandaj-Sirjan Zone (Aghanabati, 2005). This belt is response to opening and subduction of Neo-Tethyan oceanic crust beneath the Central Iran (Alavi, 1994). During Cretaceous-Tertiary eras, numerous granitoid bodies were formed in this belt. The Saheb granitoid is one of these granitoid bodies which mainly consists of monzogranite, quartz monzonite and quartz monzodiorite. The aim of this research study is to discuss the evolution of the Late Cretaceous-Early Paleocene Saheb granitoids in the Sanandaj-Sirjan zone based on geology, petrography and geochronology results.

### Material and methods

In this study, 70 rock samples were collected from different types of intrusive rocks from which 30 thin sections were prepared for petrographic studies. Furthermore, four samples from the granitoid bodies (quartz monzonite, quartz monzodiorite and monzogranite) were selected for U-Pb dating. Approximately 100 to 150 zircon grains were hand-picked by a binocular microscope from each sample. Cathodoluminescence imaging and dating of zircon grains were examined at the China University Geosciences (Wuhan branch). Geochronological analysis were performed by using the (LA)-ICP-MS method at the China University Geosciences (Wuhan branch). The detailed analytical method is presented in Liu et al. (2010a, 2010b).

### Geology of the study area

The Saheb granitoid body is located in the Sanandaj-Sirjan zone. According to the geological map of Chapan (scale: 1/100000, Kholghi khosragli, 1999), the Precambrian to Quaternary units are exposed in the study area. The oldest units are the Kahar, Bayandor and Soltanieh Formations with Precambrian to Cambrian age. The Permian sediments, the Ruteh and Doroud Formations, include sandstone, shale and carbonate. The Jurassic units are found in the northwest of the region, and include sandstones and shale. The Cretaceous sedimentary units are

\*Corresponding author Email: gh.nabatian@znu.ac.ir

DOI: <https://doi.org/10.22067/econg.v12i3.80773>

located in the south of the study area. These sediments contain sandstone, limestone, silty-limestone, shale and dolomitic limestone. During Late Cretaceous-Early Paleocene era the Saheb granitoid intruded within the oldest units and caused Fe skarn type deposits in the Saheb area. The Saheb granitoid have been cut by a series of diabasic dikes.

## Results

The Saheb granitoid consists of several intrusive bodies containing quartz monzonite, quartz monzodiorite and monzogranite. The major minerals in the quartz monzodiorite consist of plagioclase (35- 40%), quartz (15- 20%), orthoclase (20- 25%), and mafic minerals such as biotite and amphibole (10-15%) with granular texture. The quartz monzonitic rocks show granular and poikilitic textures. Plagioclase (25- 35%), quartz, orthoclase (30- 40%), biotite and amphibole (10-15%) are the main important minerals in the quartz monzonite. Plagioclase (20- 25%), quartz (20-30%), orthoclase (30-40%), biotite and amphibole (15%) are the major minerals in the monzogranite.

Zoning in zircon crystals from all four samples is well developed representing their magmatic origin (Hancar and Miller, 1993). Measurements of U-Pb in the Saheb granitoid zircon grains of quartz monzonite samples show their ages to be  $62.03 \pm 0.56$  Ma and  $58.9 \pm 0.9$  Ma. The age of monzogranite is  $67.9 \pm 1.3$  Ma and the age of quartz monzodiorite is  $61.1 \pm 0.56$  Ma. Generally, the age of this granitoid body indicates that the Saheb granitoid has occurred during the Cretaceous- Paleocene time.

## Discussion

Based on field and microscopic studies, the Saheb granitoid bodies have been divided into three types of quartz-monzonite, quartz-monzodiorite and monzogranite. The field and mineralogical studies suggest that the Saheb granitoid is an I-type granitoid. The mineralogical variations in this granitoid suggest that the fractional crystallization has played an important role in differentiation of different compositional phases in the Saheb granitoid.

According to the geochronological results, during Late Cretaceous to Early Paleocene, the Saheb granitoid intruded within the Permian and Cretaceous units in the magmatic-metamorphic Sanandaj-Sirjan zone. These granitoids were formed by subduction of Neo-Tethys Ocean beneath the Iranian plateau. It should be mentioned that the intrusion of these granitoids into the Permian carbonates and Cretaceous carbonate and shale caused formation of skarn type iron oxide mineralization.

## Acknowledgements

The authors are grateful to the authorities at the University of Zanjan for their financial support. We also thank the authorities at the China University Geosciences (Wuhan branch) for their financial support to perform U-Pb zircon analysis.

## References

- Aghanabati, A., 2005. Geology of Iran. Geological Survey of Iran, Tehran, 586 pp. (in Persian)
- Alavi, M., 1994. Tectonics of the Zagros Orogenic belt of Iran; new data and interpretations. *Tectonophysics*, 299(3): 211–238.
- Gansser A., 1981. The Geodynamic History of the Himalaya. In: H.K. Gupta and F.M. Delany (Editors), Zagros Hindu Kush Himalaya Geodynamic Evolution, Vol. 3, Geodynamic Series. American Geophysical Union, Washington DC, pp. 111–121.
- Kholghi khosragli, M.H., 1999. Geological map of Chapan, scale 1: 100000. Geological Survey of Iran. (in Persian)
- Liu, Y., Gao, S., Hu, Z., Gao, C., Zong, K. and Wang, D., 2010a. Continental and oceanic crust recycling-induced melt-peridotite interactions in the Trans-North China orogen: U-Pb dating, Hf isotopes and trace elements in zircons from mantle xenoliths. *Journal of Petrology*, 51(1–2): 537–571.
- Liu, Y.S., Hu, Z.C., Zong, K.Q., Gao, C.G., Gao, S., Xu, J.A. and Chen, H.H., 2010b. Reappraisal and refinement of zircon U-Pb isotope and trace element analyses by LA-ICP-MS. *Chinese Science Bulletin*, 55(15):1535–1546.